

ВОЛНЫ НАПРЯЖЕНИЙ ПРИ ПОДЗЕМНОМ ВЗРЫВЕ

Шемякин Е.И.

При переходе к изучению пространственных напряженных состояний рассмотрим закономерности затухания волн в среде с трением, считая это состояние предельным по отношению к упругому: элемент среды целиком находится в состоянии с трением, перейдя в него из упругого состояния. При этом принимается схематизация явления развития взрыва в непосредственной окрестности заряда, указанная на рис. 1. Волна напряжений представляет самую быструю часть процесса, отражающую свойства сжимаемости и необратимых деформаций, распространяющуюся от места взрыва практически со скоростью продольных волн и порождающая сейсмический эффект. Следом за волной происходит расширение газовой полости с продуктами взрыва в поле скоростей, созданном волной напряжений, в горной породе, сопротивляющейся в основном за счет сдвиговых деформаций разрушению, что рассматривается в качестве отдельной задачи [1].

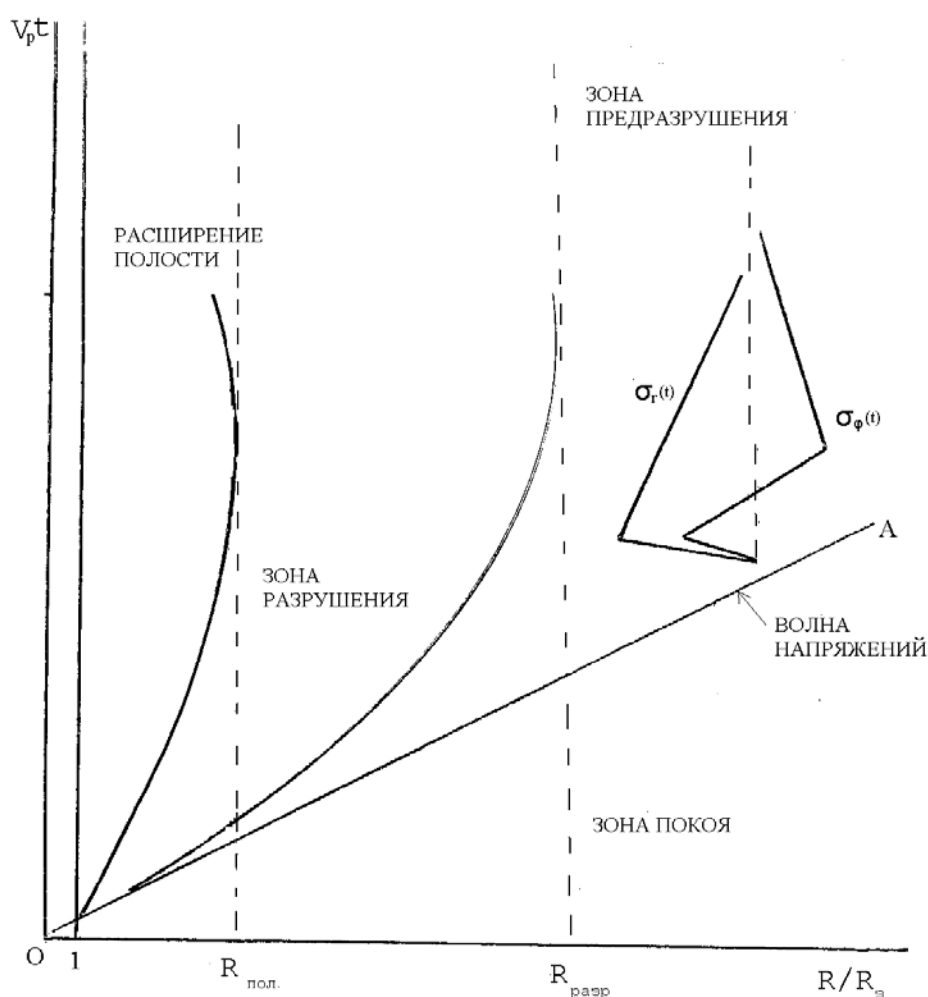


Рис.1. Общая картина движений горного массива в окрестности одиночного заряда

Предлагаемый материал представляет продолжение статей [1 – 4], в которых была предложена общая схематизация явления взрыва и было дано описание развития ближней зоны в непосредственной окрестности заряда. Поэтому рисунки и обозначения будут соответствовать принятым в статье [1].

Рассмотрим одномерные задачи о распространении волн напряжений в сплошной среде с трением и выберем в качестве независимых переменные Лагранжа: r_0 – начальная координата, r – координата в момент времени t .

В случае сферически-симметричных волн напряжений имеем случай полной пластичности – [12 – 14], так как в силу симметрии $\sigma_\varphi = \sigma_\theta$ для описания состояния с трением достаточно привлечь одну связь между главными напряжениями σ_r и $\sigma_\varphi = \sigma_\theta$. В соответствии с паспортом прочности [12–14] это состояние отвечает сечению предельной поверхности при $\mu_\sigma = -1$.

В практических приложениях принимают прямолинейную огибающую кругов Мора, что соответствует линейной связи между инвариантами напряженного состояния

$$\sigma_\varphi - \sigma_r = k + m(\sigma_r + \sigma_\varphi), \quad (k, m = \text{const}). \quad (1.1)$$

В случае цилиндрической волны напряжений σ_r , σ_φ , σ_z являются главными и все различаются между собой. Пусть краевые условия таковы, что в цилиндрической волне будет $\sigma_\varphi > \sigma_z > \sigma_r$, причем все напряжения являются сжимающими. В соответствии с паспортом прочности будем считать, что наступит состояние неполной пластичности [$\mu_\sigma \sim 0$], в котором величины напряжений связаны тем же условием трения (1.1)

$$\sigma_\varphi - \sigma_r = k + m(\sigma_r + \sigma_\varphi) \quad \text{или} \quad \sigma_\varphi \approx \alpha \sigma_r, \\ (\alpha = (1+m)/(1-m)).$$

Так как напряжение σ_z является средним по абсолютной величине, то величина $\mu_\sigma \sim 0$ близка к нулю, а само напряжение σ_z сохраняет практически упругую связь с деформациями – имеет место неполная пластичность. Если нагрузки таковы, что σ_z возрастает и приближается к одному из напряжений σ_r , σ_φ , то может произойти переход в состояние полной пластичности и в цилиндрической волне напряжений.

Рассмотрим в качестве основной иллюстрации случай полной пластичности, отвечающий сферической симметрии.

Уравнения движения и неразрывности в переменных Лагранжа имеют следующий вид

$$\frac{1}{\frac{\partial r}{\partial r_0}} \cdot \frac{\partial \sigma_r}{\partial r_0} + \frac{2(\sigma_r - \sigma_\varphi)}{r_0} \cdot \frac{r_0}{r} = \rho \frac{\partial u}{\partial t}, \quad (1.2)$$

$$\frac{\partial r}{\partial r_0} = \frac{\rho_0}{\rho} \left(\frac{r_0}{r} \right)^2$$

Здесь σ_r , $\sigma_\varphi = \sigma_\theta$ – главные нормальные напряжения; ρ – плотность, ρ_0 – ее начальное значение, u – скорость перемещения частицы в направлении r .

Если ввести вместо ρ объемную деформацию частицы ε и продифференцировать уравнение неразрывности по t , то уравнение неразрывности (второе уравнение в (1.2)) можно представить в виде

$$\frac{\partial u}{\partial r_0} = \left(\frac{r_0}{r} \right)^2 \frac{\partial \varepsilon}{\partial t} - \frac{r_0}{r} \cdot \frac{\partial r}{\partial r_0} \cdot \frac{2u}{r_0}, \quad u = \frac{\partial r}{\partial t} = \frac{\partial (r - r_0)}{\partial t}.$$

В уравнениях движения и неразрывности перейдем от напряжений к деформациям: $u(r_0, t)$ – скорость частиц, $\varepsilon(r_0, t)$ – объемная деформация, $r(r_0, t)$ – положение частицы; тогда

$$r(r_0, t) = \int_0^t u dt + r_0, \quad W = \int_0^t u dt.$$

Будем считать, что при динамическом нагружении поведение среды описывается следующими двумя функциями (уравнение состояния при нагружении).

$$\sigma_r = 3K\varepsilon / (1+2\alpha), \quad \sigma_\varphi = \alpha\sigma_r. \quad (1.3)$$

Связь среднего напряжения $\sigma = K\varepsilon$ с объемной деформацией будет принята далее в виде, представляющем практически упругое изменение объема. Здесь $K = \lambda + 2/3 \mu$ – модуль объемного сжатия, λ, μ – константы Ляме. Сопротивление сдвигу имеет характер трения – предельное состояние на паспорте прочности при $\mu \sigma = 1$ [2, 3, 8, 12].

Применение теории «коротких» волн означает фактически построение асимптотических решений предложенной системы уравнений с учетом принятых уравнений состояния (3) при нагружении. В свою очередь, эта возможность основана на опытных данных о волнах напряжений в твердых телах, возникающих при взрывном и ударном нагружениях. Отметим еще раз эти две особенности на примере сферически симметричного взрыва обычных химических ВВ в горных породах средней и высокой прочности. В статье [2, 3, 8] описаны оригинальные данные об этих основных особенностях, из которых напомним следующие. Ударная волна, возникающая после распада разрыва на границе «горная порода–ВВ», в сферически-симметричном случае быстро затухает с расстоянием и уже на расстоянии 2–5 радиусов заряда превращается в непрерывную волну напряжений, в которой имеют место большие градиенты на участке нарастания напряжений по сравнению с участком падения, убывания напряжений (радиус сферического заряда типового ВВ пересчитывается к эквивалентному тротиловому – см., например, [4, 8, 9]). Отношение длительности участка нарастания напряжений Δ_1

$$\Delta_1 = \Delta_1 / r_0 \ll 1. \quad (1.4)$$

к расстоянию, пройденному волной, есть величина малая, в реальных ситуациях это отношение равно $\Delta \sim 0,1$ и менее. Такую волну будем называть короткой, по терминологии С.А. Христиановича [2, 6, 7]. В рассматриваемом диапазоне расстояний от заряда для прочных горных пород волны напряжений можно считать слабыми, имея в виду, что максимальная амплитуда в волне $|\sigma_r|$ намного меньше модуля продольного сжатия

$$\sigma_r \ll (\lambda + 2\mu) \rho a_0^2. \quad (1.5)$$

где a_0 – скорость звука в покоящейся среде.

Иными словами, деформация является малой, порядка 0,1 в окрестности заряда и много меньше на больших расстояниях. Из опытов следует [2, 8, 11], что в слабой волне скорости распространения a могут отличаться от скорости продольных волн a_0 на малую величину того же порядка, что и деформация.

Таким образом, волны напряжений в рассматриваемой задаче будем считать слабыми и короткими, что позволяет ввести две малые величины

$$\Delta_0 \ll 1, \quad M_0 \ll 1. \quad (1.6)$$

где величина Δ_0 отвечает короткой волне, а M_0 – слабой волне напряжений, на малости этих величин и строится асимптотическое представление искомых функций; введенные малые величины Δ_0 и M_0 , вообще говоря, различны по порядку, это будет пояснено при оценке величин деформаций.

В соответствии с принятыми обозначениями введем «безразмерные» неизвестные функции $m(\delta, r), e(\delta, \tau)$:

$$u = a_0 M_0 m(\delta, r), \quad \varepsilon = \varepsilon_0 e(\delta, \tau), \quad (1.7)$$

зависящие от новых независимых переменных δ, τ

$$r = a_0 t (1 + \Delta_0 \delta), \quad \tau = \ln t.$$

Для короткой и слабой волны нагрузки справедливы следующие оценки порядков величин деформаций

$$\varepsilon_r = \sim M_0, \quad \varepsilon_\theta = w/r_0 \sim \Delta_0 M_0. \quad (1.8)$$

Здесь учтено выражение для перемещения, а интеграл при оценке порядка величины в области нагрузки оценивается как площадь треугольника (скорость частиц изменяется по линейному закону) с высотой $u_{max} \sim a_0 M_0$ и с основанием, равным длительности участка нагружения $\Delta_0 t$.

При оценке порядков величин принимается $\varepsilon_\theta = M_0$, а величины m , e принимаются конечными, порядка единицы.

Укажем также оценку порядка для производной

$$\frac{\partial \varepsilon_\theta}{\partial r} \sim M_0. \quad (1.9)$$

Результаты позволяют сделать следующие выводы:

А) в короткой волне деформация ε_θ есть величина более высокого порядка, чем ε_r ; отношение $\varepsilon_\theta / \varepsilon_r$ есть малая порядка Δ_0 , так что указанное свойство есть следствие «короткости» волны;

В) объемная деформация складывается в основном за счет деформации в направлении волны и является малой величиной порядка $\varepsilon \sim \varepsilon_r \sim M_0$.

Заметим, что в плоской волне и в ударной волне напряжений $\varepsilon_\theta = 0$, а объемная деформация $\varepsilon = \varepsilon_r$, а в короткой волне эти же соотношения выполнены лишь приближенно и с той степенью точности, с какой волну можно считать короткой.

Проведя все необходимые подстановки и учитывая малые первого порядка относительно M_0 и Δ_0 , находим следующие уравнения «коротких» волн (заметим для теоретиков, что уравнения коротких волн в Лагранжевых и Эйлеровых координатах совпадают – после линейной теории упругости это пока единственный случай!).

$$\begin{aligned} \frac{\partial m}{\partial \tau} - \delta \frac{\partial m}{\partial \delta} + (2 - \alpha)m &= 0, \\ \frac{\partial m}{\partial \delta} + \frac{\partial e}{\partial \delta} &= 0 \end{aligned} \quad (1.10)$$

Из второго сразу же следует

$$m = -e + \psi(\tau). \quad (1.11)$$

$\psi(\tau)$ – произвольная функция, которую следует положить равной нулю, если впереди волны область покоя.

Интегрируя второе уравнение, находим интегралы характеристических уравнений, где C_1, C_2 – постоянные, и общий интеграл $C_1 = mt^{2-\alpha}$, $\delta = C_2 m$, где ψ – произвольная функция своего аргумента;

$$m = (1/t^{2-\alpha}) \Psi(\delta t). \quad (1.12)$$

Переходя к физическим переменным и пользуясь произвольностью Ψ , находим

$$\frac{u}{a_0} = \frac{1}{r^{2-\alpha}} \psi(\xi), \quad \xi = r_0 - a_0 t. \quad (1.13)$$

Общий интеграл уравнения коротких упругих волн имеет вид

$$\frac{u}{a_0} = \frac{1}{r} \Phi(r - a_0 t),$$

где Φ – произвольная функция.

Из сравнения (1.12) и (1.13) следует, что в области предельного состояния уменьшение амплитуд с расстоянием происходит обратно пропорционально $r^{2-\alpha}$, независимо от величины

a , которая определяет изменение скорости звука в зависимости от величины нагрузки; в упругой среде затухание обратно пропорционально r .

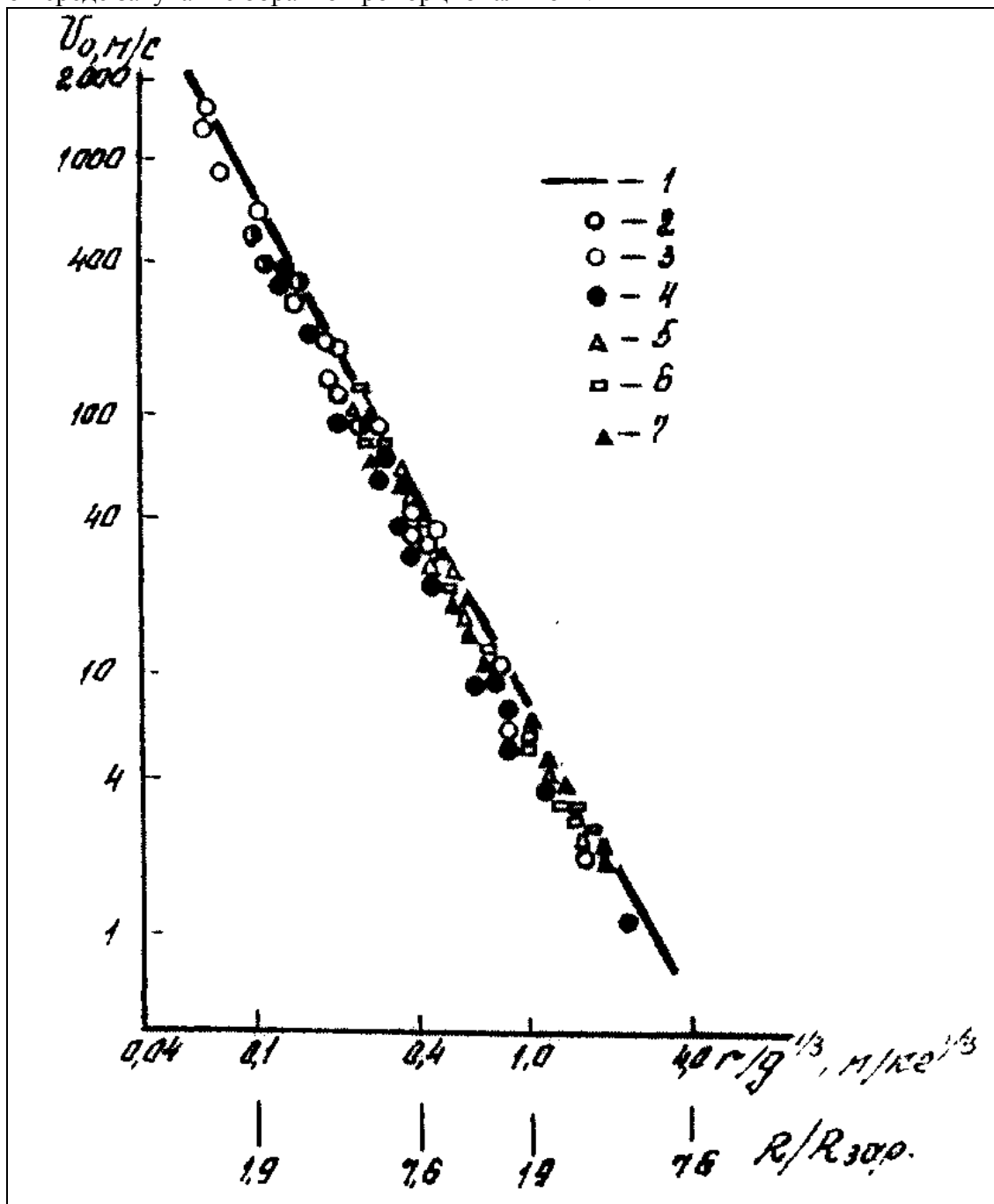


Рис. 2. Зависимость максимальных массовых скоростей от расстояния до заряда: 1-4 - связанный взрыв (плотность ВВ, кг/м^3 : 1500, 1000, 500 и 400 соответственно); 5-7 - взрыв плотностью 1500 кг/м^3 в полостях $e = 1,5; 2$ и 3 (плотность заряжения, кг/м^3 : 440, 190 и 55 соответственно) [9].

На рис. 2 и рис. 3 из [10] приведены сводные экспериментальные данные о затухании максимальных амплитуд скоростей частиц и перемещений, которые позволяют подтвердить вывод об удовлетворительном совпадении теоретических выводов и данных опыта. Важно подчеркнуть, что для скоростей частиц и перемещений законы затухания практически совпадают – это говорит о том, что пока перемещение частицы положительно, совершается работа против сил трения (среда находится в предельном состоянии). В свою очередь, этот факт проясняет характер разгрузки в волне напряжений.

Экспериментальное доказательство законов затухания волн напряжений в широком диапазоне прочных горных пород и типов ВВ показывает принципиальную возможность расчета действия взрыва в реальных условиях. При этом при расчете параметров КЗВ и при расчете параметров разлета (формирования воронки взрыва) оказываются самыми важными сведения о параметрах скоростей материального движения частиц – при разрушении за счет движения в окрестности полости (порядка половины начальной скорости движения стенки полости, а при откольном разрушении и сейсмическом эффекте за счет волн напряжений (скорость движения частиц, удвоенная по сравнению с таковой в подошедшей в волне напряжений). Надо надеяться, что эти данные прекратят длительные споры о роли волн напряжений и остаточной работе продуктов взрыва при взрыве в горных породах. В разных горных породах разные ВВ могут проявиться по-разному. Но во всех случаях индикатором действия взрыва – разрушительного и сейсмического – является массовая скорость частиц в волне напряжений.

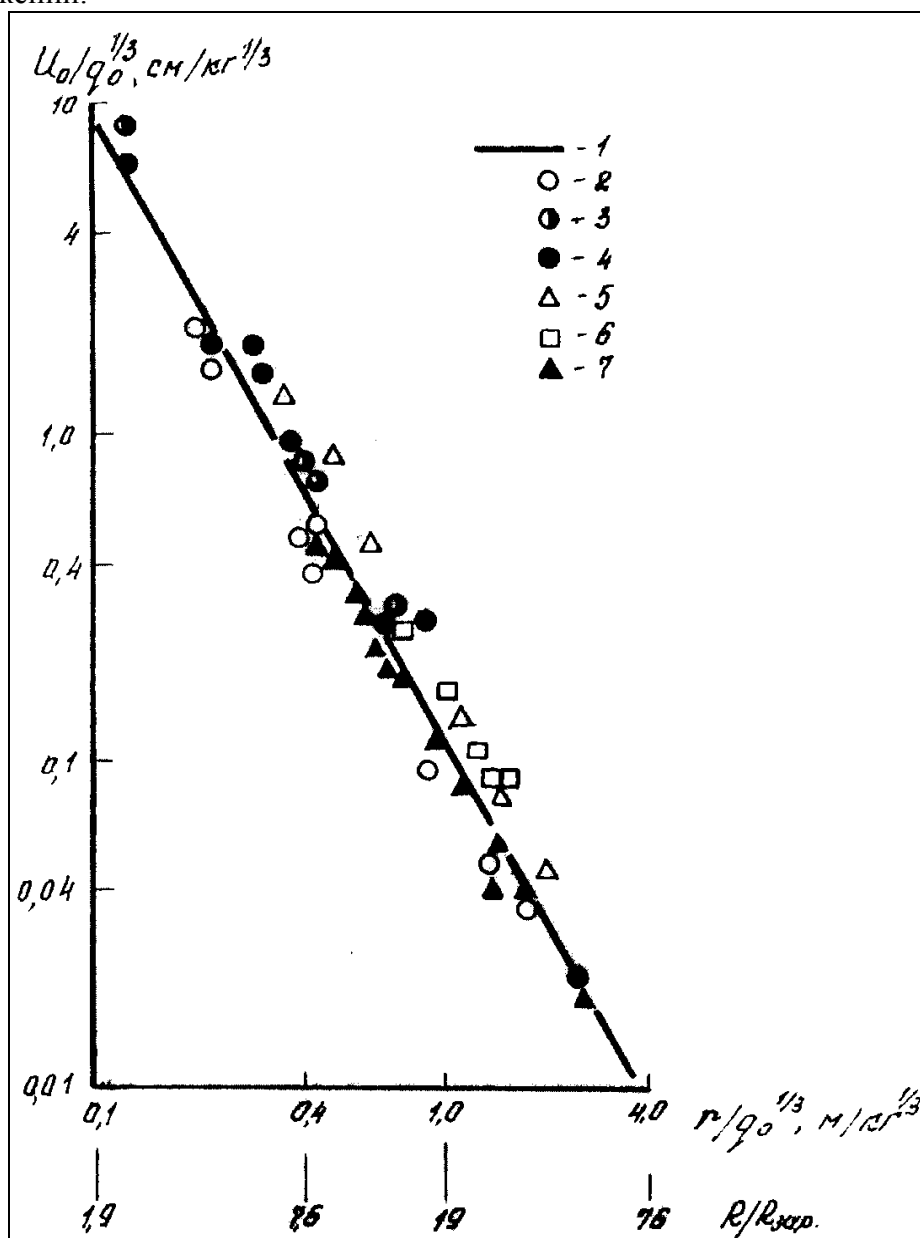


Рис. 3. Зависимость приведенных максимальных перемещений (б) от расстояния до заряда: 1-4 - связанный взрыв (плотность ВВ, $\text{кг}/\text{м}^3$: 1500, 1000, 500 и 400 соответственно); 5-7 - взрыв плотностью 1500 $\text{кг}/\text{м}^3$ в полостях $e = 1,5; 2$ и 3 (плотность заряжения, $\text{кг}/\text{м}^3$: 440, 190 и 55 соответственно) [9].

ЛИТЕРАТУРА

1. Шемякин Е.И. Деформации и разрушение горных пород при подземном взрыве. // Взрывное дело. – М., 1999. – № 92/49.
2. Медведева Н.С., Шемякин Е.И. Волны напряжений в прочных горных породах. – ПМТФ, 1961, № 5.
3. Шемякин Е.И. О волнах напряжений в прочных горных породах. – ПМТФ, 1963, № 5.
4. Шемякин Е.И. О расширении газовой полости в несжимаемой упруго-пластической среде. // Труды Совета по нар.-хоз. использованию взрыва. – 1959, № 3.
5. Онисько Н.И., Шемякин Е.И. Движение свободной поверхности однородного грунта при подземном взрыве. – ПМТФ, 1961. – № 4. – С. 82–93.
6. Христианович С.А. Ударная волна на больших расстояниях от места взрыва. – ПММ, 1965. – Т. 20, № 6.
7. Христианович С.А. и др. Теория коротких волн. – ПМТФ, 1960. – № 1.
8. Христианович С.А., Шемякин Е.И. О динамической сжимаемости прочных горных пород и металлов. – ПМТФ, 1964. – № 3.
9. Шемякин Е.И. Динамические задачи теории упругости и пластичности. / Курс лекций. – Новосибирск: Изд-во НГУ, 1968. – 336 с.
10. Шемякин Е.И. О волнах напряжений в твердых телах. // Труды XII Межд. Конгресса по прикладной механике. – Стэнфорд, США, 1968 (тезисы).
11. Адушкин В.В., Спивак А.А. Геомеханика крупномасштабных взрывов. – Москва: Недра, 1993.
12. Шемякин Е.И. Об инвариантах напряженного и деформированного состояния в математических моделях механики сплошной среды. – ДАН, 2000. – Т. 373. – № 5. – С. 632–634.
13. Шемякин Е.И. Синтетическая теория прочности. Часть 1. – Физическая мезомеханика, 1999. – Т. 2. – № 6. – С. 63–69.
14. Шемякин Е.И. Синтетическая теория прочности. Часть 2. – Физическая мезомеханика, 2000. – Т. 3. – №5. С.11–17.